

# Distribuição do campo de indução magnética no entreferro do motor linear de indução

A. Leão Rodrigues (\*)

C. Pereira Cabrita (\*\*)

## resumo

A partir dos princípios fundamentais, o artigo apresenta uma análise do campo de indução magnética para as diferentes topologias de uma máquina linear de indução. Com o auxílio de um computador pessoal HP 9000 são traçados mapas de fluxo para uma máquina linear em vazio e em carga com o rotor em alumínio.

## abstract

*From fundamental principles an analysis of the field over an open-sided and double-sided linear induction machine is examined in this paper. Flux maps for a linear machine with an aluminium sheet rotor for several slips are plotted by means a HP 9000 personal computer.*

## 1. Introdução

O motor linear de indução pode apresentar industrialmente três topologias diferentes [1], a saber: simples estator eléctrico e magnético, simples estator

eléctrico e duplo estator magnético e ainda duplo estator eléctrico e duplo estator magnético. O conhecimento da distribuição do campo magnético ao longo do entreferro de qualquer destas três topologias, quer em vazio quer em carga (com chapa rotórica inserida), é de primordial importância para a optimização e dimensionamento deste tipo de máquina. Vários autores [2, 6, 8, 9] têm trabalhos neste domínio. No entanto, uma sistematização de resultados para os vários tipos de configurações da máquina linear de indução baseados nas equações de Maxwell é agora ineditamente apresentada neste trabalho.

---

(\*) Professor Associado da Faculdade de Ciências e Tecnologia da Universidade Nova de Lisboa.

(\*\*) Doutorado do Departamento de Engenharia Electrotécnica e Computadores do Instituto Superior Técnico.

## 2. Distribuição do campo magnético em vazio

A figura 1 mostra uma fotografia de um protótipo de um motor linear de indução trifásico construído com vista a diversos ensaios, incluindo a medição da distribuição do campo magnético. Para o estudo teórico da distribuição do campo magnético em vazio, supõe-se a ausência da chapa rotórica e as cavas e os dentes do estator do modelo reduzidas a uma superfície lisa de comprimento indefinido.

A corrente instantânea injectada nas três fases do motor admite-se ser representada por uma folha de corrente com uma distribuição sinusoidal ao longo do estator com um passo polar  $\tau_p$  e um comprimento de onda  $\lambda = 2\tau_p$ . Esta distribuição de corrente ao longo da periferia do estator toma então a forma

$$j_l = J_1 \sin \frac{2\pi}{\lambda} x = J_1 \sin \frac{\pi}{\tau_p} x = I_1 \sin \beta x \quad (1)$$

onde  $\beta = \pi/\tau_p$  e  $J_1$  representa a amplitude da onda sinusoidal.

### 2.1. Máquina com simples estator eléctrico e simples estator magnético

Para uma máquina linear com circuito magnético a fechar-se pelo ar, sem chapa rotórica, como indica a figura 2, a densidade linear de corrente num ponto de abcissa  $x = l$  será, de acordo com a Eq. (1), dada por

$$j_l = J_1 \sin \beta l$$

Admitindo uma permeabilidade magnética infinita para o ferro, por aplicação da lei de Ampère ao elemento de corrente  $j_l dl$  resulta para as componentes elementares do campo de indução magnética no ponto  $P(x, z)$  as seguintes expressões:

$$dB_x = \frac{\mu_0 J_1 z \sin(\beta l)}{\pi [(x-l)^2 + z^2]} dl$$

$$dB_z = \frac{\mu_0 J_1 (x-l) \sin(\beta l)}{\pi [(x-l)^2 + z^2]} dl$$

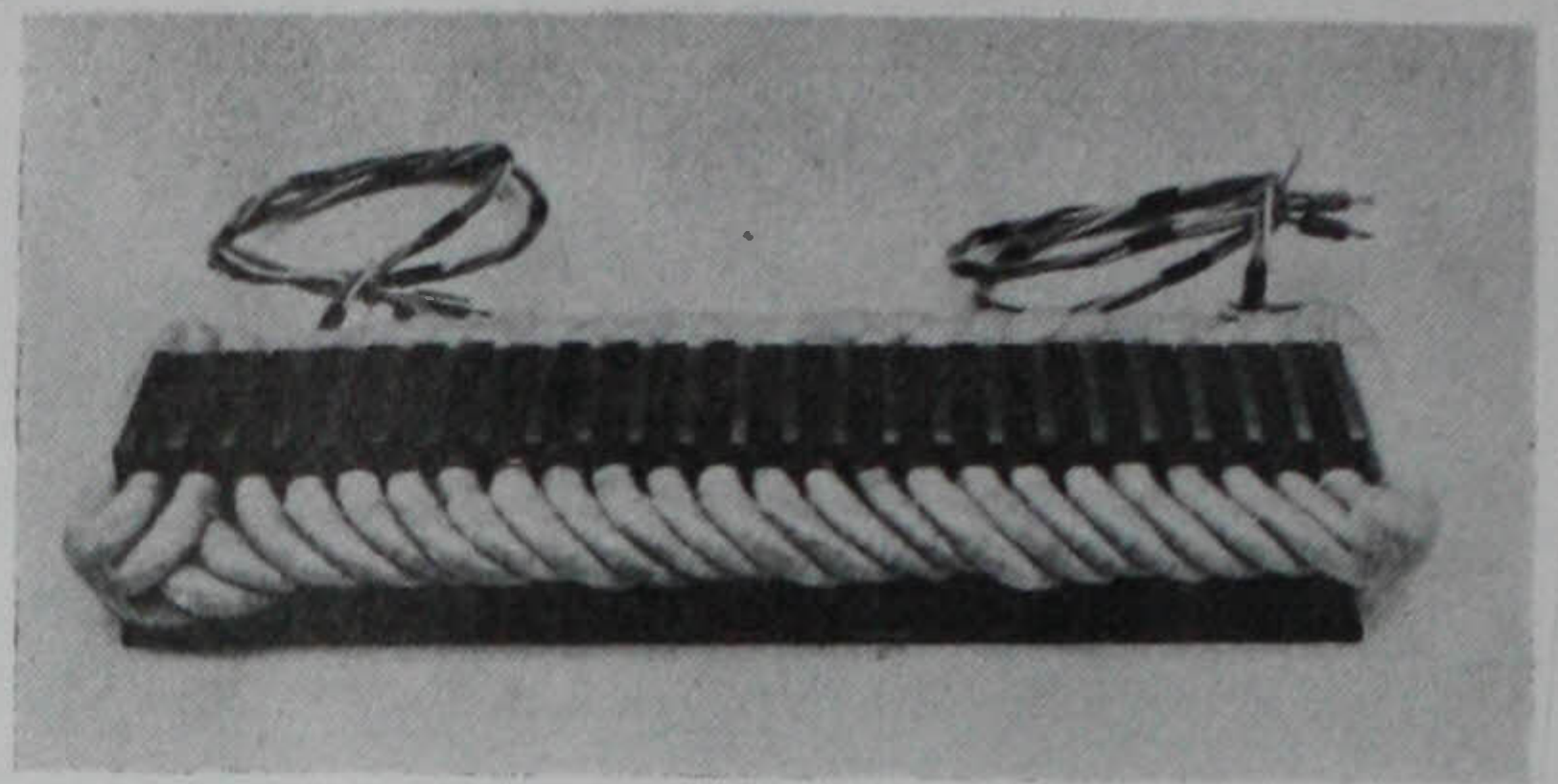


Fig. 1 — Protótipo de um motor linear de indução trifásico

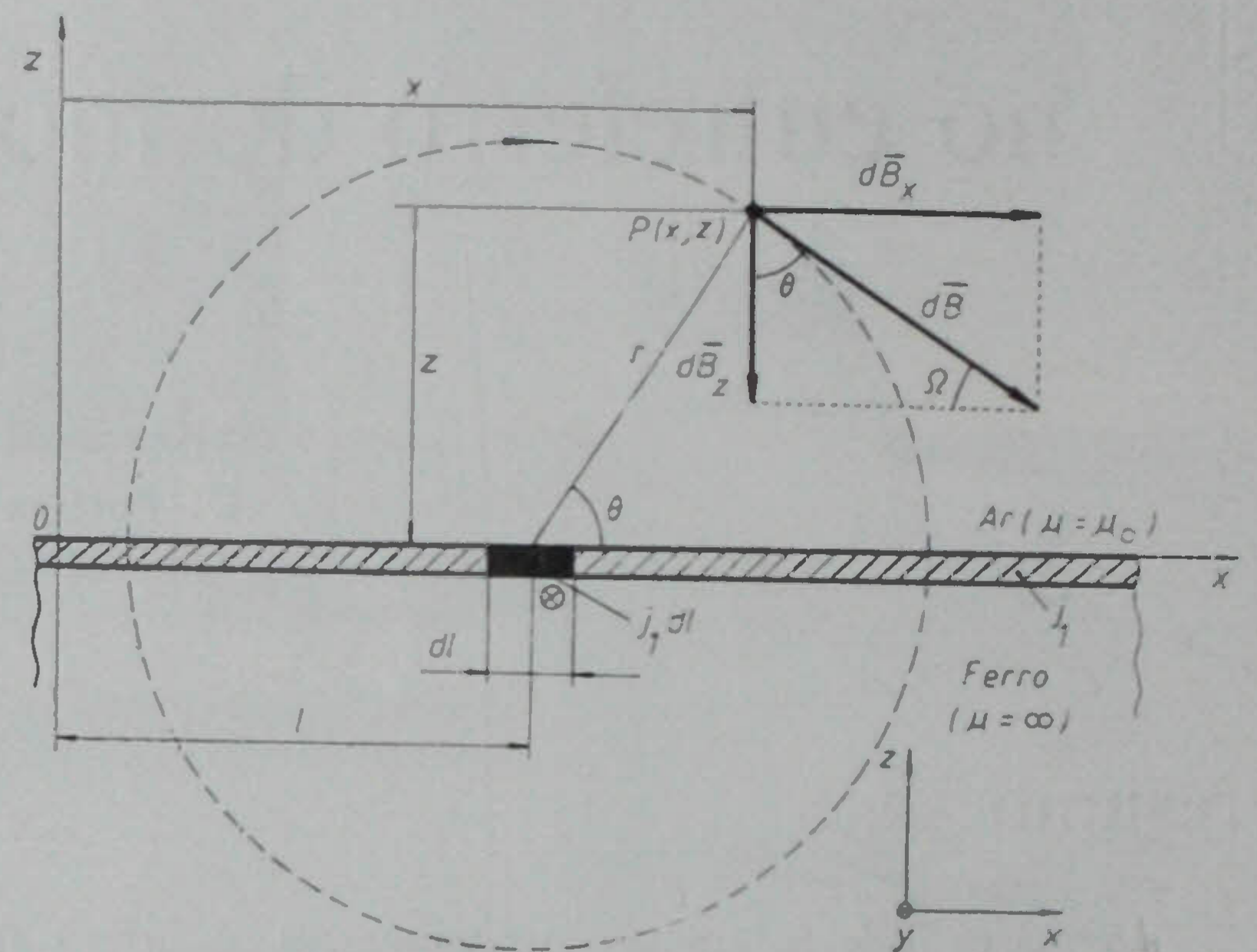


Fig. 2 — Componentes do campo de indução magnética devido a um elemento de corrente  $j_l dl$

Tendo em conta a distribuição total de corrente ao longo da periferia do estator de comprimento indefinido, vem para as componentes do campo total

$$B_x = \frac{\mu_0 J_1 z}{\pi} \int_{-\infty}^{+\infty} \frac{\sin(\beta l)}{(x-l)^2 + z^2} dl$$

$$B_z = \frac{\mu_0 J_1}{\pi} \int_{-\infty}^{+\infty} \frac{(x-l) \sin(\beta l)}{(x-l)^2 + z^2} dl$$

ou, resolvendo os integrais,

$$B_x = \mu_0 J_1 \sin(\beta x) e^{-\beta z} \quad (2)$$

$$B_z = \mu_0 J_1 \cos(\beta x) e^{-\beta z} \quad (3)$$

Para um ponto genérico  $P(x, z)$  de uma linha de força do campo de indução magnética, conforme ilus-

tra a figura 2, ter-se-á

$$\left(\frac{dz}{dx}\right)_p = \operatorname{tg} \Omega = \operatorname{cotg} \theta,$$

donde, tendo em atenção as Eqs. (2) e (3), resulta

$$\frac{dz}{dx} = \operatorname{cotg} (\beta x)$$

Por conseguinte, a equação de cada linha de força do campo de indução escreve-se

$$z = \int \operatorname{cotg} (\beta x) dx = \frac{1}{\beta} \ln \operatorname{sen} (\beta x) + C \quad (4)$$

onde a constante de integração  $C$  toma um valor distinto para cada linha de força que se considere.

Para a determinação da constante  $C$ , considere-se a figura 3 onde  $\Phi$  representa o fluxo total através de um plano perpendicular ao estator situado na abcissa  $x = \tau_p/2$ . Por simetria, as linhas de força do campo de indução são normais a este plano onde, de acordo com a Eq. (2), assume o valor

$$B_x = \mu_0 J_1 \operatorname{sen} \left( \frac{\pi}{\tau_p} \cdot \frac{\tau_p}{2} \right) e^{-\beta z} = \mu_0 J_1 e^{-\beta z} = B_0 e^{-\beta z}$$

O fluxo  $\Phi_z$  que atravessa o referido plano, por unidade de comprimento transversal do estator, entre as cotas de ordenadas  $z = 0$  até um valor genérico  $z$ , toma a forma

$$\Phi_z = \int_0^z B_x dz = \frac{1}{\beta} B_0 (1 - e^{-\beta z}) \quad (5)$$

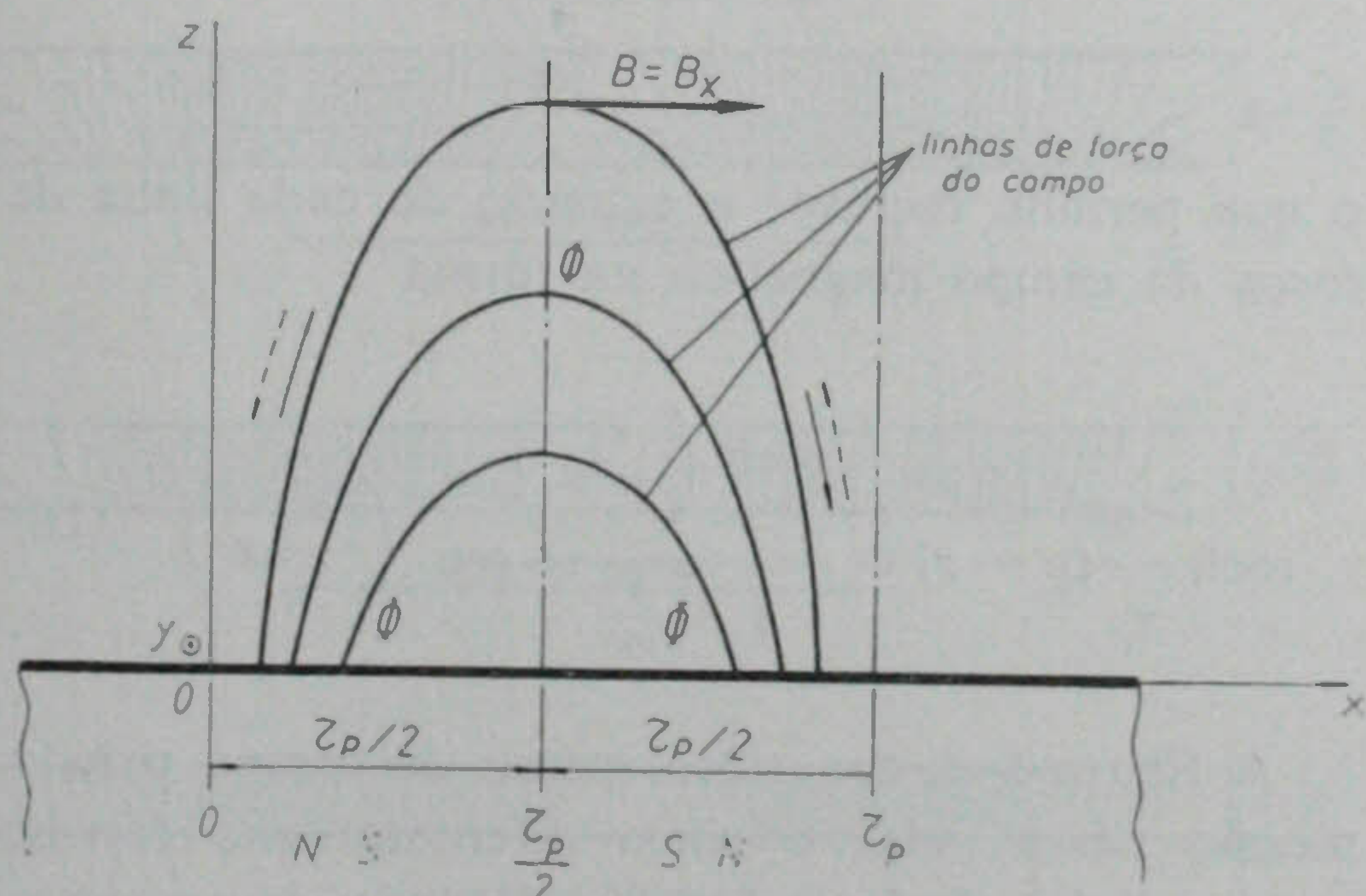


Fig. 3 — Linhas de força do campo de indução magnética ao longo de um passo polar

sendo, obviamente, o fluxo total ( $z = \infty$ ) dado por

$$\Phi = \frac{1}{\beta} B_0 \quad (6)$$

A relação entre a Eq. (5) e a Eq. (6) dá então a percentagem  $\epsilon\%$  do fluxo que passa até à cota  $z$ , ou seja

$$\frac{\epsilon}{100} = \frac{\Phi_z}{\Phi} = 1 - e^{-\beta z}$$

donde

$$z = (z)_{\epsilon=\tau_p/2} = -\frac{1}{\beta} \ln \left( 1 - \frac{\epsilon}{100} \right) \quad (7)$$

Finalmente, fazendo  $x = \tau_p/2$  na Eq. (4) e substituindo nela a Eq. (7) resulta

$$C = -\frac{1}{\beta} \ln \left( 1 - \frac{\epsilon}{100} \right)$$

Deste modo, a Eq. (4) escreve-se

$$z = \frac{\tau_p}{\pi} \ln \frac{\operatorname{sen} \left( \frac{\pi}{\tau_p} x \right)}{\left( 1 - \frac{\epsilon}{100} \right)} \quad (8)$$

que traduz a equação geral de uma linha de força do campo de indução. A figura 4 mostra um mapa de campo onde as linhas de força foram traçadas para percentagens de fluxo variando entre 5% e 95%, com intervalos de 5%.

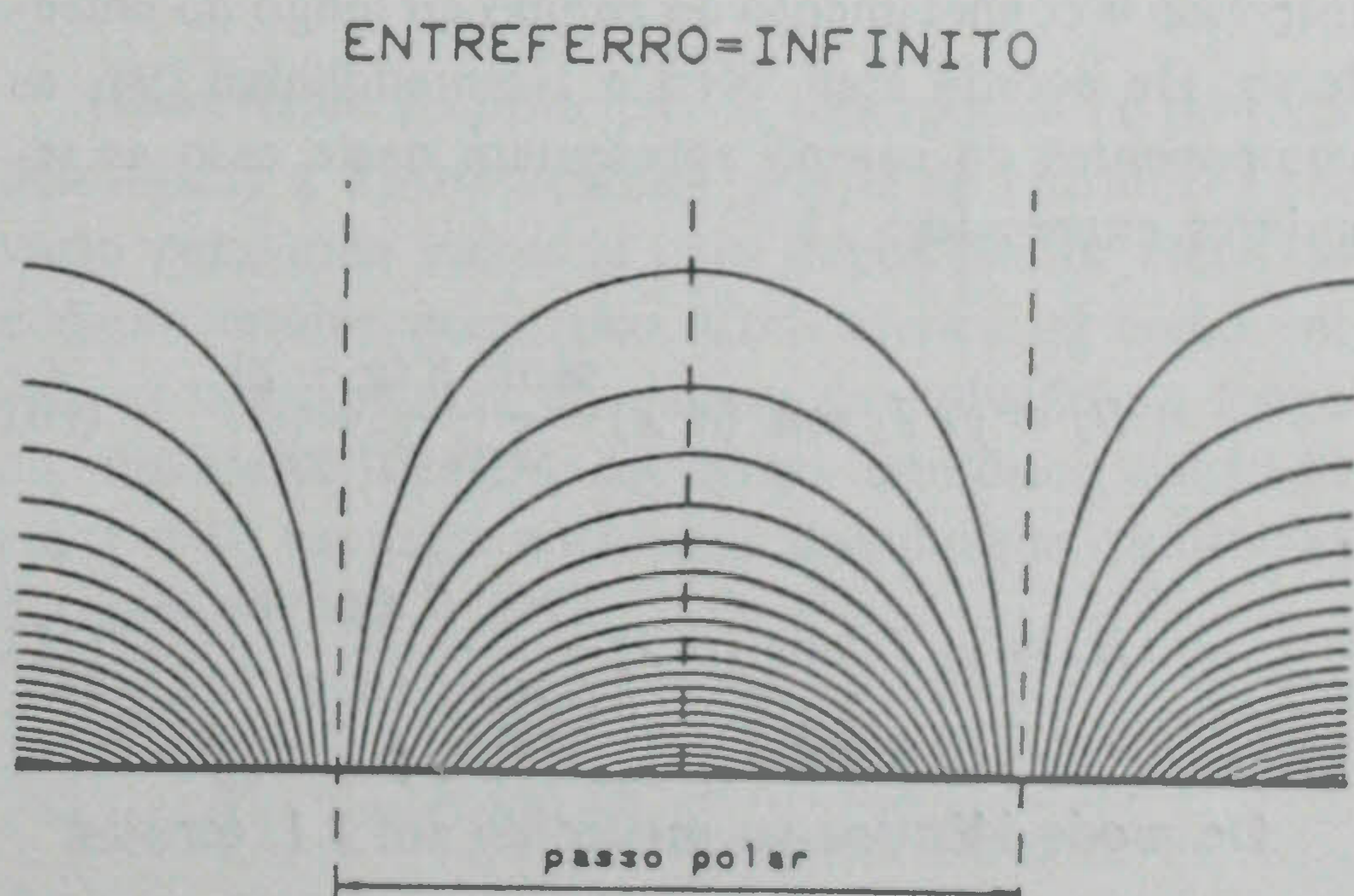


Fig. 4 — Distribuição do campo magnético de indução em vazio num simples estator eléctrico

Da análise da Eq. (8) e do mapa de campo resultam as seguintes conclusões:

1. As linhas de força do campo de indução são simétricas em relação ao plano de abscissa  $x = \tau_p/2$  e tendem assintoticamente para os planos  $x = 0$  e  $x = \tau_p$ .
2. A forma do mapa das linhas de força é independente do valor do passo polar  $\tau_p$ , isto é, apresenta sempre a mesma configuração qualquer que seja o valor do passo polar.
3. As linhas de força atingem o valor máximo para  $x = \tau_p/2$ , ou seja

$$z_{max} = -\frac{\tau_p}{\pi} \ln \left( 1 - \frac{\epsilon}{100} \right) \quad (9)$$

Para um valor  $z_{max} = \tau_p$ , vem por substituição na Eq. (9),  $\epsilon = 95,7\%$ . Este resultado indica que apenas cerca de 4% do fluxo total passa acima de uma cota igual ao passo polar da máquina.

Para uma cota superior a  $\tau_p/\pi$ , a Eq. (9) indica que passa cerca de 37% do fluxo total. A este valor  $g = \tau_p/\pi$  chama-se entreferro equivalente da máquina com simples estator eléctrico. Quer dizer que 63,2% do fluxo total da máquina passa a cerca de  $\tau_p/3$  acima do estator qualquer que seja a corrente estatórica.

## 2.2. Máquina com simples estator eléctrico e duplo estator magnético

A análise efectuada em 2.1 é válida somente para o estator em aberto a que corresponde um entreferro infinito. A introdução de um segundo bloco estatórico magnético em  $z = g$  confere à máquina uma configuração com maior aplicação prática e por isso tem interesse o conhecimento do campo ao longo do entreferro. De acordo com West e Hesmondhalgh [9], as componentes do campo apresentam neste caso as seguintes expressões:

$$B_x = \mu_0 J_1 \sin(\beta x) \frac{\sinh \beta (g - z)}{\sinh(\beta g)} \quad (10)$$

$$B_z = \mu_0 J_1 \cos(\beta x) \frac{\cosh \beta (g - z)}{\sinh(\beta g)} \quad (11)$$

De modo idêntico ao procedido em 2.1, ter-se-á

$$\frac{dz}{dx} = \frac{B_z}{B_x} = \cotg(\beta x) \cotgh \beta (g - z)$$

donde

$$\int \operatorname{tgh} \beta (g - z) dz = \int \cotg(\beta x) dx$$

ou

$$\operatorname{sech} \beta (g - z) = C \operatorname{sen}(\beta x) \quad (12)$$

Para o cálculo da constante  $C$  note-se que o fluxo que sai do estator ( $z = 0$ ), por unidade de comprimento transversal do estator, entre os pontos de abscissa  $x = 0$  e  $x_1$  é dado por

$$\begin{aligned} \Phi_{x_1} &= \int_0^{x_1} [B_z]_{z=0} dx = \mu_0 J_1 \cotgh(\beta g) \cdot \\ &\cdot \int_0^{x_1} \cos(\beta x) dx = \\ &= \mu_0 J_1 \cotgh(\beta g) \frac{1}{\beta} \operatorname{sen}(\beta x_1) \end{aligned} \quad (13)$$

sendo o fluxo total entre  $x = 0$  e  $x = \tau_p/2$  dado por

$$\Phi = \mu_0 J_1 \cotgh(\beta g) \frac{1}{\beta} \quad (14)$$

Combinando as Eqs. (13) e (14), vem

$$\operatorname{sen}(\beta x_1) = 1 - \frac{\epsilon}{100} \quad (15)$$

onde  $\epsilon = 1 - \frac{\Phi_{x_1}}{\Phi}$  representa a fracção do fluxo entre  $\tau_p/2$  e  $x_1$ . Fazendo na Eq. (12)  $z = 0$  e  $x = x_1$  e substituindo nela a Eq. (15), resulta

$$C = \frac{\operatorname{sech}(\beta g)}{1 - \frac{\epsilon}{100}}$$

o que permite escrever a equação de cada linha de força do campo magnético na forma

$$\operatorname{sech} \frac{\pi}{\tau_p} (g - z) = \frac{\operatorname{sech} \left( \frac{\pi}{\tau_p} g \right)}{1 - \frac{\epsilon}{100}} \operatorname{sen} \left( \frac{\pi}{\tau_p} x \right) \quad (16)$$

A figura 5 ilustra cinco mapas de campo para o mesmo passo polar e cinco diferentes entreferros, onde as linhas de força foram traçadas para percentagens de fluxo variando entre 5% e 95% com intervalos de 5%.

A análise da Eq. (16) e dos mapas de campo permite concluir o seguinte:

1. A dispersão de fluxo diminui à medida que a razão passo polar/entreferro aumenta.
2. Para a fronteira  $z = g$  (bloco magnético de retorno) a Eq. (16) dá

$$x = \frac{\tau_p}{\pi} \text{arc sen} \left[ \left( 1 - \frac{\varepsilon}{100} \right) \cosh \left( \frac{\pi}{\tau_p} g \right) \right]$$

com  $0 < x < \frac{\tau_p}{2}$ , devendo verificar-se a condição

$$0 < \left[ \left( 1 - \frac{\varepsilon}{100} \right) \cosh \left( \frac{\pi}{\tau_p} g \right) \right] < 1 \quad (17)$$

para que a respectiva linha de força de percentagem  $\varepsilon$  atravesse totalmente o entreferro. Logo, para um determinado entreferro  $g$ , a percentagem de fluxo  $\varepsilon_s$

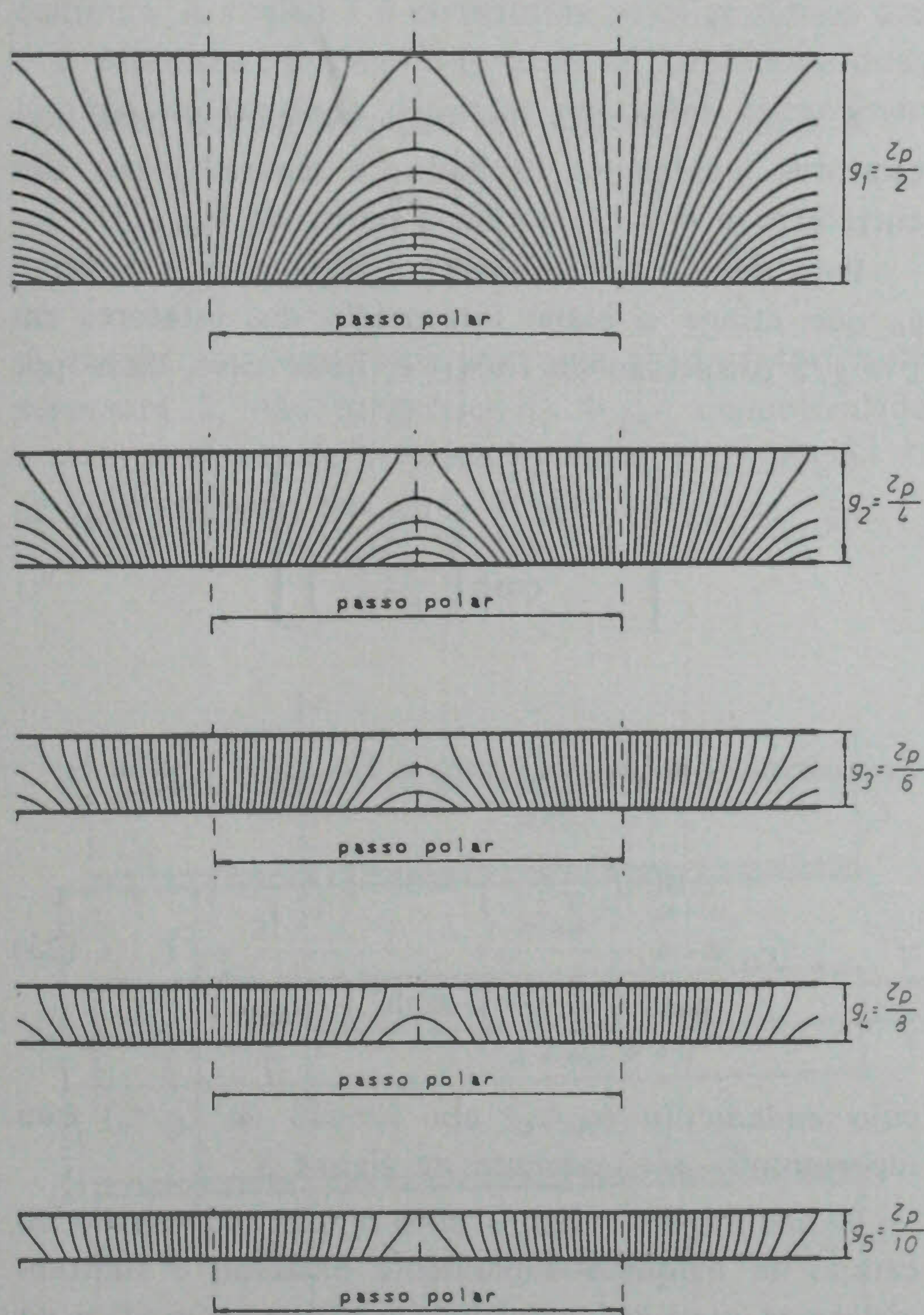


Fig. 5 — Distribuição do campo magnético de indução em vazio para várias razões passo polar/entreferro

que sai do bloco estático sem chegar ao bloco magnético (fluxo de dispersão) é obtida da Eq. (17) pela expressão

$$\varepsilon_s = 100 \left[ 1 - \frac{1}{\cosh \left( \frac{\pi}{\tau_p} g \right)} \right] \quad (18)$$

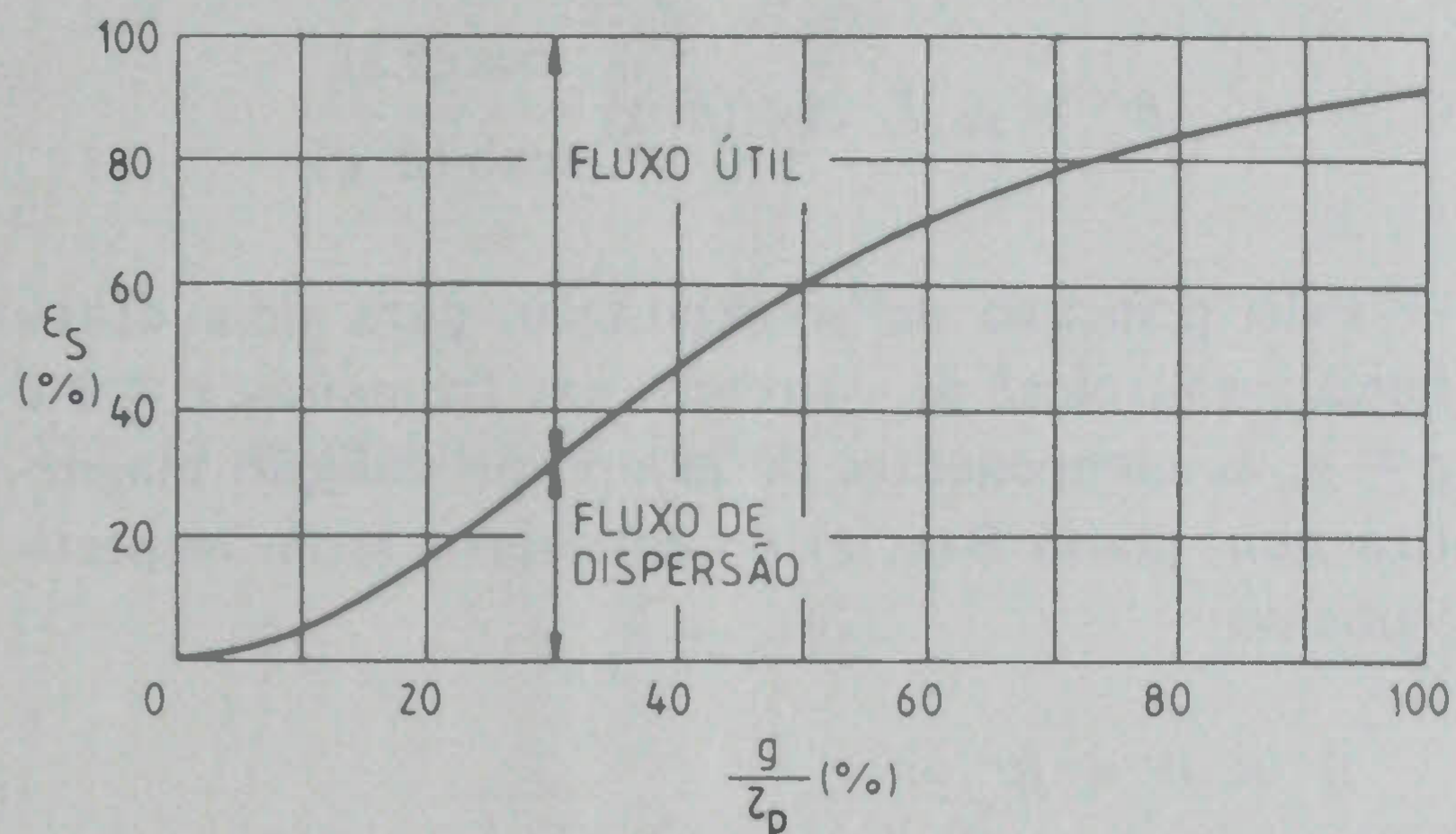


Fig. 6 — Variação da percentagem de fluxo com a razão  $g/\tau_p$

Na figura 6 está representado graficamente o andamento de  $\varepsilon_s$  em função da relação  $g/\tau_p$ . Deste resultado conclui-se que enquanto para um entreferro igual a 10% do passo polar (que é uma relação corrente neste tipo de máquinas) praticamente todo o fluxo atinge o bloco magnético de retorno (cerca de 95% do fluxo total), para um entreferro igual ao passo polar apenas 8.6% do fluxo total atinge o bloco magnético.

### 2.3. Máquinas com duplo estator eléctrico e duplo estator magnético

Recorrendo ao princípio da sobreposição é possível determinar a distribuição do campo no entreferro em vazio para uma máquina com duplo estator eléctrico e duplo estator magnético. Com efeito, tal como em 2.2, as componentes do campo de indução ao longo do entreferro devidas ao bloco estático colocado em  $z = 0$ , excitado com uma distribuição sinusoidal de corrente, são

$$B'_x = \mu_0 J_1 \text{sen} (\beta x) \frac{\text{senh} \beta (g - z)}{\text{senh} (\beta g)}$$

$$B'_z = \mu_0 J_1 \text{cos} (\beta x) \frac{\text{cosh} \beta (g - z)}{\text{senh} (\beta g)}$$

Para a mesma distribuição sinusoidal de corrente, mas agora situada ao longo do bloco magnético superior situado em  $z = g$ , as componentes do campo de indução no entreferro, no mesmo referencial, tomam a forma

$$B_x'' = -\mu_0 J_1 \sin(\beta x) \frac{\sinh(\beta z)}{\sinh(\beta g)}$$

$$B_z'' = \mu_0 J_1 \cos(\beta x) \frac{\cosh(\beta z)}{\sinh(\beta g)}$$

Pelo princípio da sobreposição, para uma distribuição sinusoidal de correntes nas fronteiras  $z = 0$  e  $z = g$ , as componentes do campo de indução magnética num ponto  $P(x, z)$  do entreferro serão respectivamente

$$B_x = B_x' + B_x'' = \mu_0 J_1 \sin(\beta x) \frac{\sinh \beta (g - z) - \sinh(\beta z)}{\sinh(\beta g)} \quad (19)$$

$$B_z = B_z' + B_z'' = \mu_0 J_1 \cos(\beta x) \frac{\cosh \beta (g - z) + \cosh(\beta z)}{\sinh(\beta g)} \quad (20)$$

A não existência de correntes no entreferro impõe a condição  $\nabla \times \vec{B} = 0$  e portanto

$$\frac{\partial B_x}{\partial z} = \frac{\partial B_z}{\partial x}$$

Por conseguinte, atendendo a esta condição e às Eqs. (19) e (20), tem-se

$$\frac{B_z}{B_x} = \frac{dz}{dx} = \cotg(\beta x) \cotgh \beta \left( \frac{g}{2} - z \right)$$

donde, após integração, resulta

$$\operatorname{sech} \beta \left( \frac{g}{2} - z \right) = C \sin(\beta x) \quad (21)$$

A determinação da constante de integração  $C$  da Eq. (21) poderá ser feita por um processo idêntico ao utilizado em 2.2, o que conduz a

$$C = \frac{\operatorname{sech} \left( \beta \frac{g}{2} \right)}{\left( 1 - \frac{\epsilon}{100} \right)} \quad (22)$$

A substituição da Eq.(22) na Eq.(21) permite escrever

$$\operatorname{sech} \beta \left( \frac{g}{2} - z \right) = \frac{\operatorname{sech} \left( \beta \frac{g}{2} \right)}{\left( 1 - \frac{\epsilon}{100} \right)} \sin(\beta x) \quad (23)$$

expressão que traduz o andamento de cada linha de força do campo no entreferro em vazio para uma máquina com duplo estator eléctrico e duplo estator magnético.

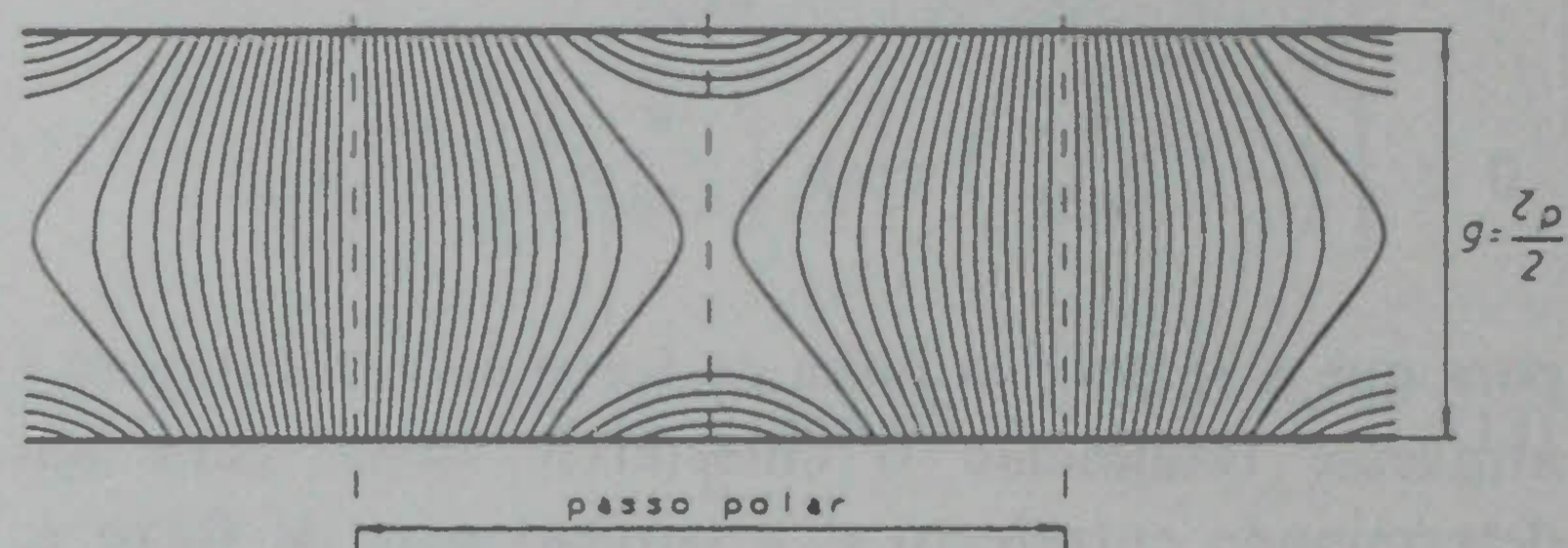


Fig. 7 — Distribuição do campo magnético de indução para dois estatores igualmente excitados

A figura 7 mostra um mapa de campo para dois estatores igualmente excitados e separados por um entreferro  $g = \tau_p/2$ , obtido a partir da Eq. (23).

Para um dado entreferro  $g$  a percentagem de fluxo  $\epsilon_D$  que atinge o plano intermédio dos estatores em  $z = g/2$  (dispersão de fluxo) é, neste caso, dado por

$$\epsilon_D = 100 \left[ 1 - \frac{1}{\cosh \left( \frac{\pi}{\tau_p} \frac{g}{2} \right)} \right] \quad (24)$$

Comparando a Eq. (24) com a Eq. (18), resulta

$$\epsilon_D = \frac{\cosh \left( \frac{\pi}{\tau_p} \frac{g}{2} \right) \sinh^2 \left( \frac{\pi}{4} \frac{g}{\tau_p} \right)}{\cosh \left( \frac{\pi}{2} \frac{g}{\tau_p} \right) \sinh^2 \left( \frac{\pi}{2} \frac{g}{\tau_p} \right)} \epsilon_S \quad (25)$$

cujo andamento ( $\epsilon_D/\epsilon_S$ ) em função de  $(g/\tau_p)$  está representado graficamente na figura 8.

A análise desta figura mostra que a dispersão do campo na máquina duplamente excitada é substancialmente mais reduzida do que a que se verifica na máquina com simples estator eléctrico e duplo estator magnético.

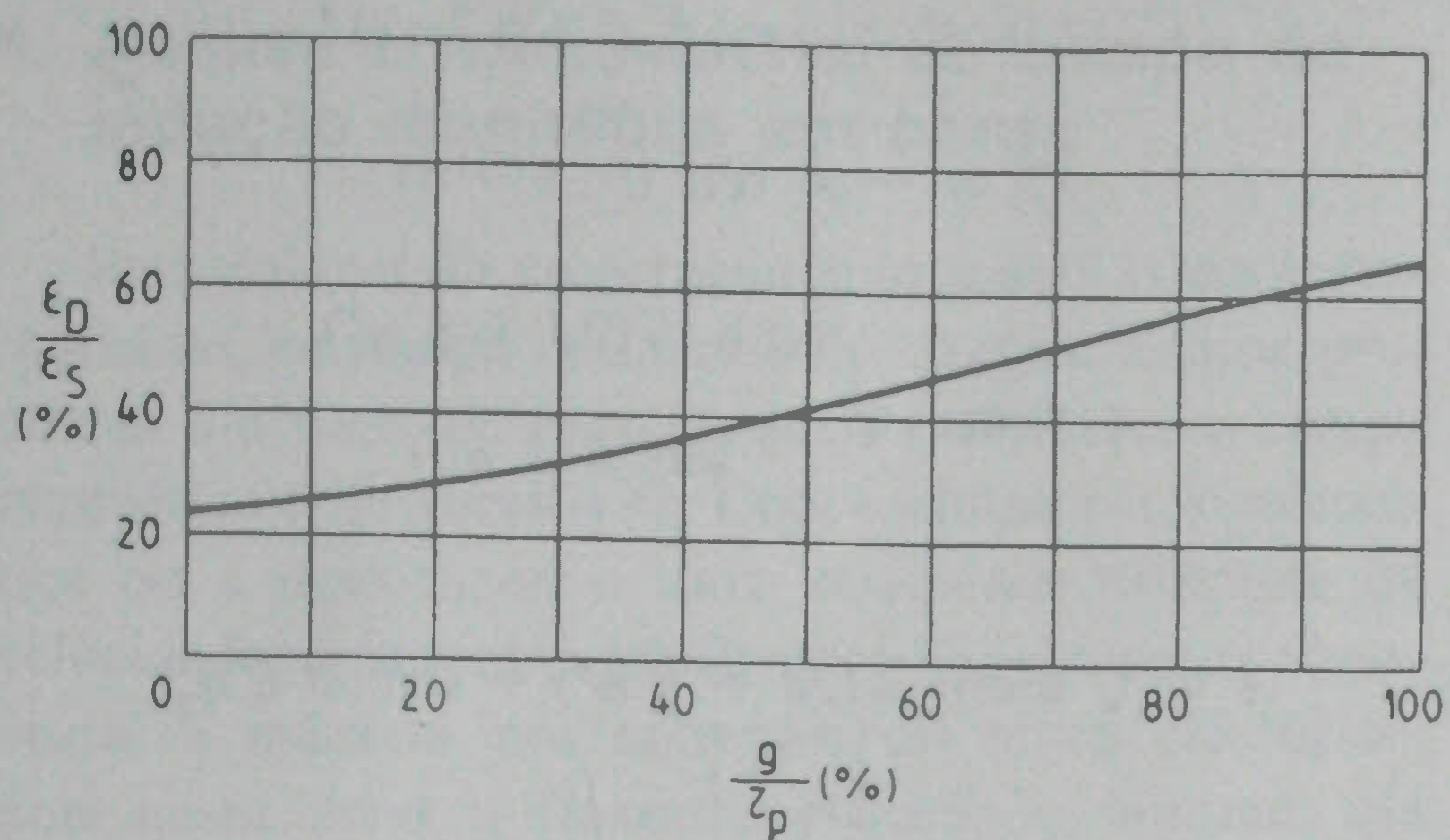


Fig. 8 — Comparação do fluxo de dispersão entre uma máquina de simples e duplo estator

### 3. Distribuição do campo de indução magnética em carga

A figura 9 apresenta o modelo da máquina linear para o estudo da distribuição do campo de indução magnética em carga. O modelo está dividido em três regiões com características magnéticas e eléctricas distintas. A região 1 é constituída pelas periferias dos dois estatores ao longo dos quais se consideram duas lâminas de corrente definidas em valor instantâneo por

$$j_1 = J_1 \text{ sen } (\omega t - \beta x)$$

A região 2 é constituída por uma chapa rotórica de espessura  $\delta$ , não magnética ( $\mu = \mu_0$ ), condutividade  $\sigma \neq 0$ , animada de velocidade linear  $V$ . A região 3, ( $g-\delta$ ), é ocupada por ar ( $\mu = \mu_0$  e  $\sigma = 0$ ).

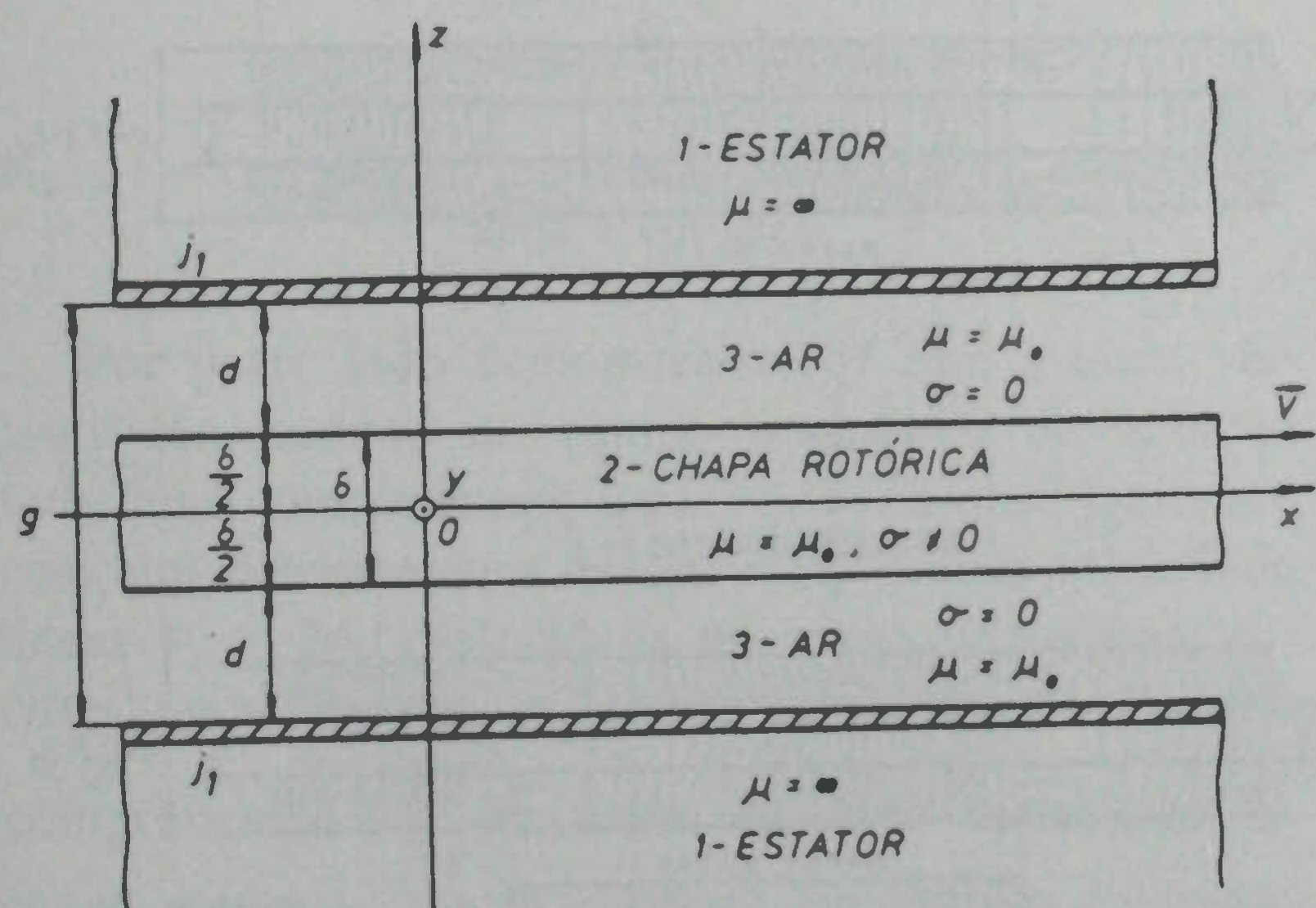


Fig. 9 — Modelo da máquina linear para o estudo do campo magnético em carga

A análise da distribuição do campo magnético em carga faz-se a partir das equações de Maxwell que, para as frequências industriais, se escrevem [4]

$$\nabla \times \vec{E} = - \frac{\partial \vec{B}}{\partial t} \quad (26)$$

$$\nabla \times \vec{H} = \vec{J} \quad (27)$$

$$\nabla \cdot \vec{B} = 0 \quad (28)$$

com as equações subsidiárias

$$\vec{B} = \mu \vec{H} \quad (29)$$

$$\vec{J} = \sigma (\vec{E} + \vec{V} \times \vec{B}) \quad (30)$$

$$\vec{B} = \nabla \times \vec{A} \quad (31)$$

$$\vec{E} = - \frac{\partial \vec{A}}{\partial t} \quad (32)$$

onde  $\vec{A}$  é o potencial vector. Por substituição das Eqs. (31) e (32) na Eq. (30) e atendendo às Eqs. (27), (28) e (29) resulta a equação de Poisson

$$\nabla^2 \vec{A} = \sigma \mu \left[ \frac{\partial \vec{A}}{\partial t} - \vec{V} \times (\nabla \times \vec{A}) \right] \quad (33)$$

Por aplicação da Eq. (33) ao modelo representado na figura 9, resulta:

- Região 2 (chapa rotórica)

$$\frac{\partial^2 A_y}{\partial x^2} + \frac{\partial^2 A_y}{\partial z^2} = \sigma \mu_0 \left( \frac{\partial A_y}{\partial t} + V \frac{\partial A_y}{\partial x} \right) \quad (34)$$

- Região 3 (ar)

$$\frac{\partial^2 A_y}{\partial x^2} + \frac{\partial^2 A_y}{\partial z^2} = 0 \quad (35)$$

A integração das Eqs. (34) e (35) foi feita por Nonaka e Yoshida [6] que obtiveram as seguintes expressões para as componentes do campo de indução naquelas duas regiões:

• Região 2 (chapa rotórica)

$$f_{a2}(z) \cos \beta x - f_{b2}(z) \sin \beta x = C_2 \quad (36)$$

onde

$$f_{a2}(z) = c_a g_a(z) + c_b g_b(z)$$

$$f_{b2}(z) = c_b g_a(z) - c_a g_b(z)$$

$$g_a(z) = \cosh \frac{\beta}{2} (2z + \delta) \alpha_1 \cos \frac{\beta}{2} (2z - \delta) \alpha_2 + \cosh \frac{\beta}{2} (2z - \delta) \alpha_1 \cos \frac{\beta}{2} (2z + \delta) \alpha_2$$

$$g_b(z) = \sinh \frac{\beta}{2} (2z + \delta) \alpha_1 \sin \frac{\beta}{2} (2z - \delta) \alpha_2 + \sinh \frac{\beta}{2} (2z - \delta) \alpha_1 \sin \frac{\beta}{2} (2z + \delta) \alpha_2$$

$$c_a = \sinh \beta d \cos \beta \delta \alpha'_2 + \sinh \beta (d + \delta \alpha'_1)$$

$$c_b = \cosh \beta d \sin \beta \delta \alpha'_2$$

$$\alpha_1 = \frac{1}{\sqrt{2}} \sqrt{\sqrt{1 + (\sigma \mu_0 s v_s / \beta)^2} + 1}$$

$$\alpha_2 = \frac{1}{\sqrt{2}} \sqrt{\sqrt{1 + (\sigma \mu_0 s v_s / \beta)^2} - 1}$$

$$\alpha'_1 = \frac{1}{\beta \delta} \operatorname{tgh}^{-1} \left( 2 \frac{\alpha_1 \sinh \beta \delta \alpha_1 - \alpha_2 \sin \beta \delta \alpha_2}{\beta_1 \cosh \beta \delta \alpha_1 + \beta_2 \cos \beta \delta \alpha_2} \right)$$

$$\alpha'_2 = \frac{1}{\beta \delta} \operatorname{arc} \operatorname{tg} \left( 2 \frac{\alpha_2 \sinh \beta \delta \alpha_1 + \alpha_1 \sin \beta \delta \alpha_2}{\beta_2 \cosh \beta \delta \alpha_1 + \beta_1 \cos \beta \delta \alpha_2} \right)$$

$$\beta_1 = 1 + \alpha_1^2 + \alpha_2^2$$

$$\beta_2 = 1 - \alpha_1^2 - \alpha_2^2$$

• Região 3 (ar)

$$f_{a3}(z) \cos \beta x - f_{b3}(z) \sin \beta x = C_3 \quad (37)$$

onde

$$f_{a3}(z) = \sinh \frac{\beta}{2} (-2z + \delta + 2d) \cos \beta \delta \alpha'_2 +$$

$$+ \sinh \frac{\beta}{2} (2z - \delta + 2d + 2\delta \alpha'_1)$$

$$f_{b3}(z) = \cosh \frac{\beta}{2} (-2z + \delta + 2d) \sin \beta \delta \alpha'_2$$

As constantes  $C_2$  e  $C_3$  deverão obedecer às condições aos limites e tem-se

$$C_2 = (\cosh \beta \delta \alpha_1 + \cos \beta \delta \alpha_2) C_3$$

$$C_3 = -A \sin (\beta x - \psi)$$

$$\psi = \operatorname{arc} \operatorname{tg} \frac{\sinh \beta (2d + \delta \alpha'_1)}{\sin \beta \delta \alpha'_2}$$

$$A = \sqrt{\sinh^2 \beta (2d + \delta \alpha'_1) + \sin^2 \beta \delta \alpha'_2}$$

A partir das Eqs. (36) e (37) está traçado na figura 10 o andamento do campo de indução magnética em carga para uma máquina linear com os seguintes parâmetros:

$$\begin{aligned} \tau_p &= 0.050 \text{ m} & \beta &= 62.8 \text{ rad/m} \\ v_s &= 6 \text{ m/s} & d &= 0.005 \text{ m} \\ \delta &= 0.005 \text{ m} & g &= \delta + 2d = 0.015 \text{ m} \\ g/\tau_p &= 0.3 & 1/\sigma &= 2.8 \cdot 10^{-8} \Omega \text{ m (Al)} \end{aligned}$$

e para três valores distintos do escorregamento,  $s = 0$  (vazio),  $s = 0.5$  e  $s = 1$  (arranque). Do traçado é visível a deformação das linhas de força à medida que o escorregamento aumenta, devido às correntes induzidas na chapa rotórica.

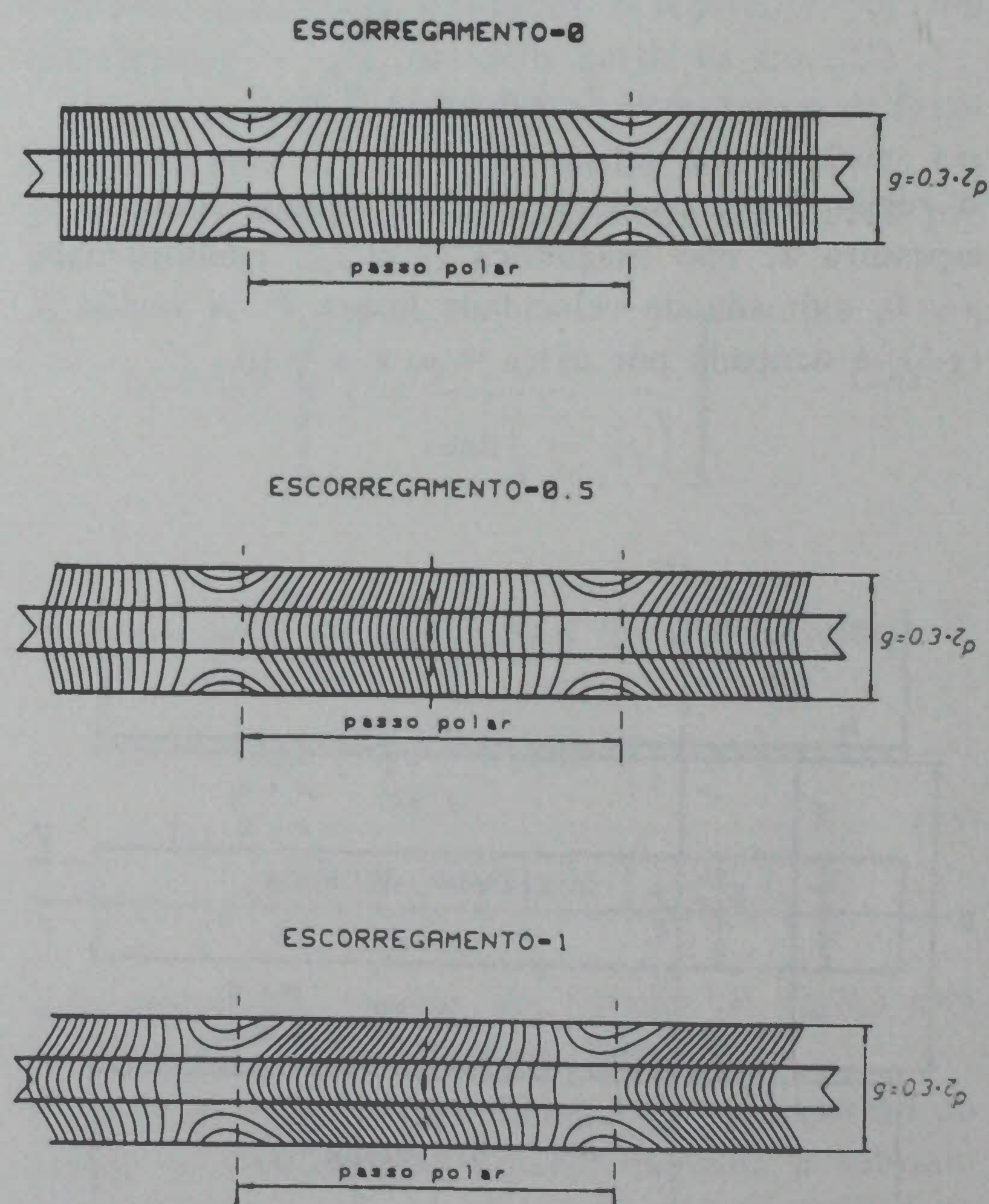


Fig. 10 — Distribuição do campo de indução magnética em carga para vários escorregamentos

#### 4. Análise tri-dimensional do campo de indução magnética em carga

Para valores do escorregamento  $s \neq 0$  as correntes induzidas na chapa rotórica pelo campo indutor produzem um fluxo de reacção que vai distorcer o campo magnético transversal [3]. Com a chapa rotórica estática ou a deslocar-se a uma velocidade diferente da velocidade de sincronismo ( $0 < s \leq 1$ ), o campo transversal é máximo nos extremos do bloco estático, pois nessa zona o fluxo de reacção é mínimo. Na zona central o fluxo de reacção é máximo devido à totalidade das correntes rotóricas de modo que o campo total é mínimo. Em vazio ( $s = 0$ ), o campo de indução transversal é constante uma vez que, não havendo correntes induzidas na chapa, o fluxo de reacção é nulo. A figura 11 ilustra esta situação.

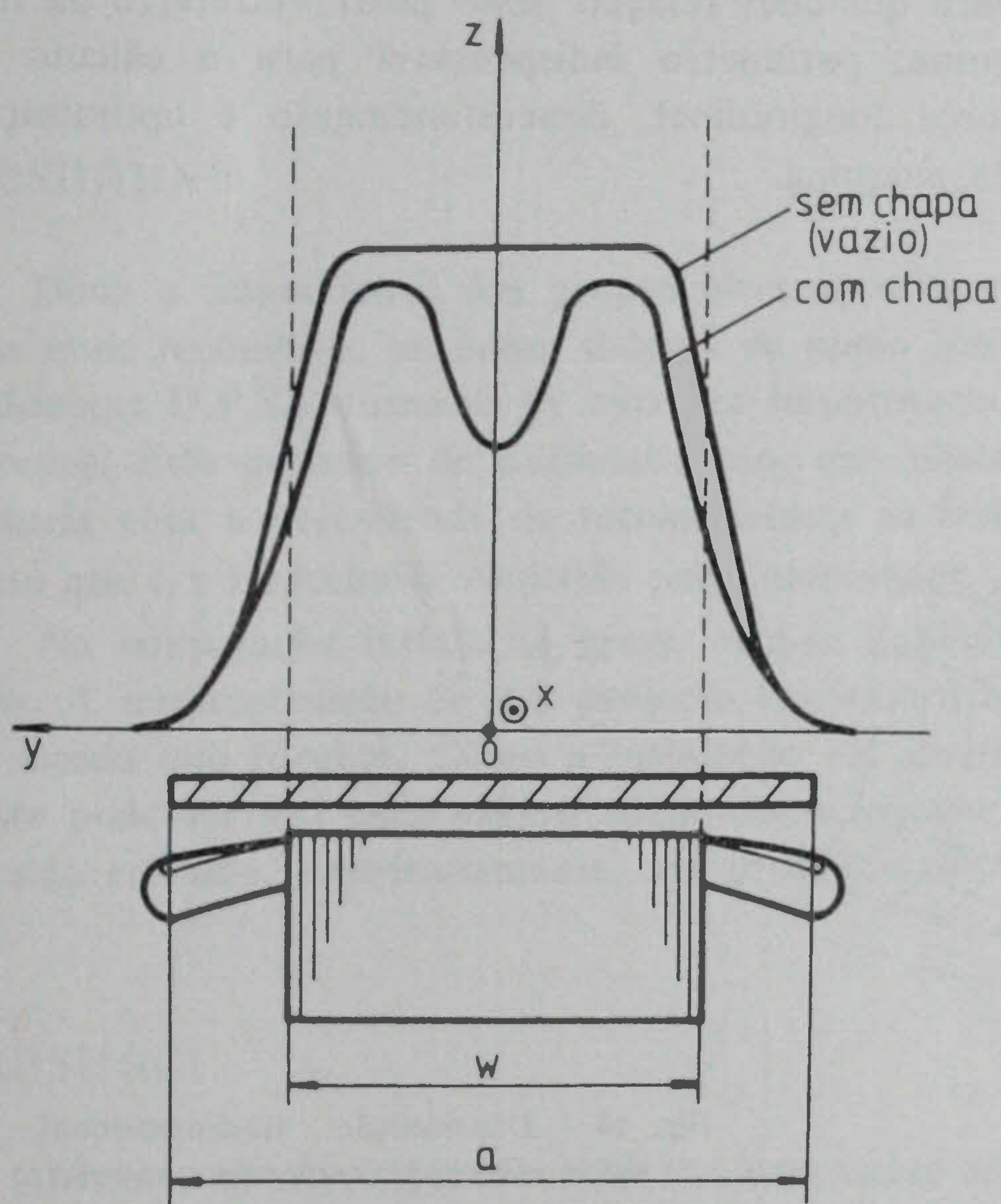


Fig. 11 — Distribuição transversal do campo de indução em carga e em vazio

Por outro lado demonstra-se [8] que a onda viajante longitudinal do campo magnético de indução tem duas componentes: uma onda viajante incidente com um comprimento de onda  $2\tau_p$  e uma velocidade linear  $V_s = 2\tau_p f$  (velocidade síncrona) e amplitude  $B_s$ ; outra onda viajante reflectida de amplitude  $B_1$  e de comprimento  $2 \frac{V_1}{V_s} \tau_p$ , onde  $V_1$  é a velocidade da chapa rotórica, que se propaga em sentido contrário à onda incidente. Esta onda reflectida, cujo comprimento depende da velocidade da chapa rotórica, mo-

dula a onda incidente tal como acontece numa linha de transmissão não adaptada [5, 7]. Como as duas ondas viajantes (incidente e reflectida) têm comprimentos de onda diferentes, a onda resultante não é sinusoidal. A figura 12 mostra a situação relativa das duas ondas  $B_1$  e  $B_s$  e a resultante  $B_s + B_1$  para cinco instantes ao longo de um ciclo da corrente e para o caso particular de  $V_1 = 0.5 V_s$ . Na figura 13 está representada a composição dos cinco instantes da onda  $B_s + B_1$  cujo resultado é uma onda modulada de periodicidade  $2 \frac{1-s}{s} \tau_p$ , função do escorregamento  $s$

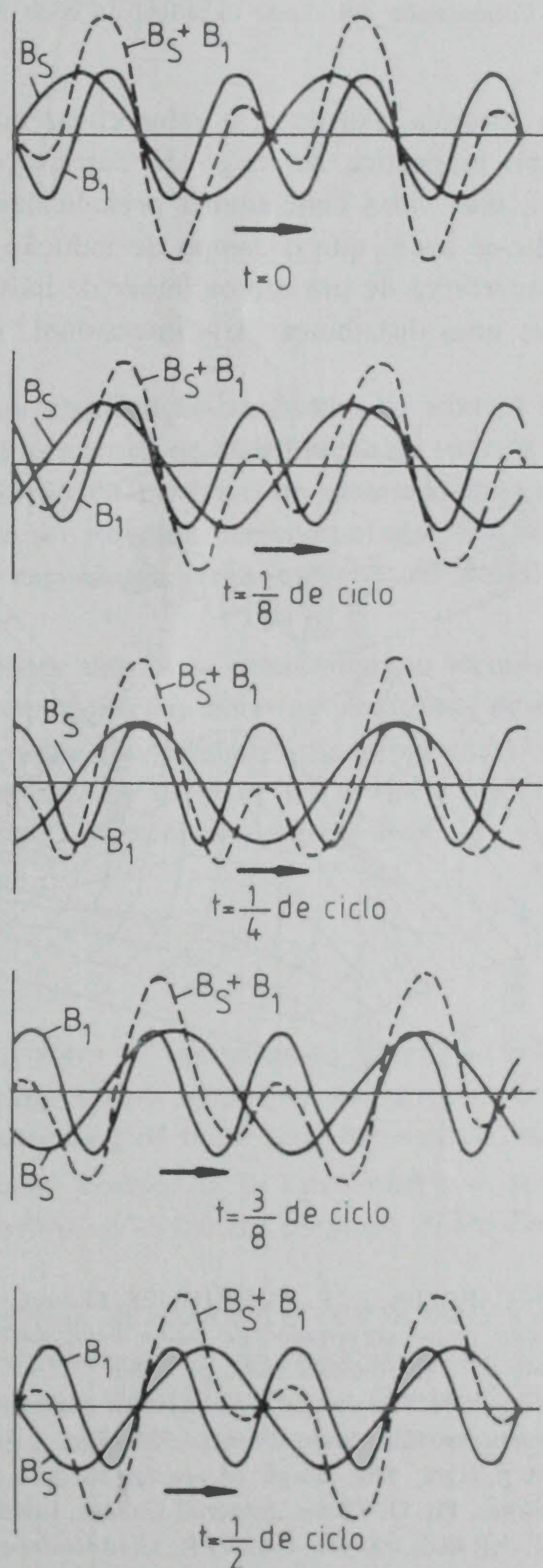


Fig. 12 — Ondas viajantes incidente, reflectida e resultante ao longo de meio ciclo

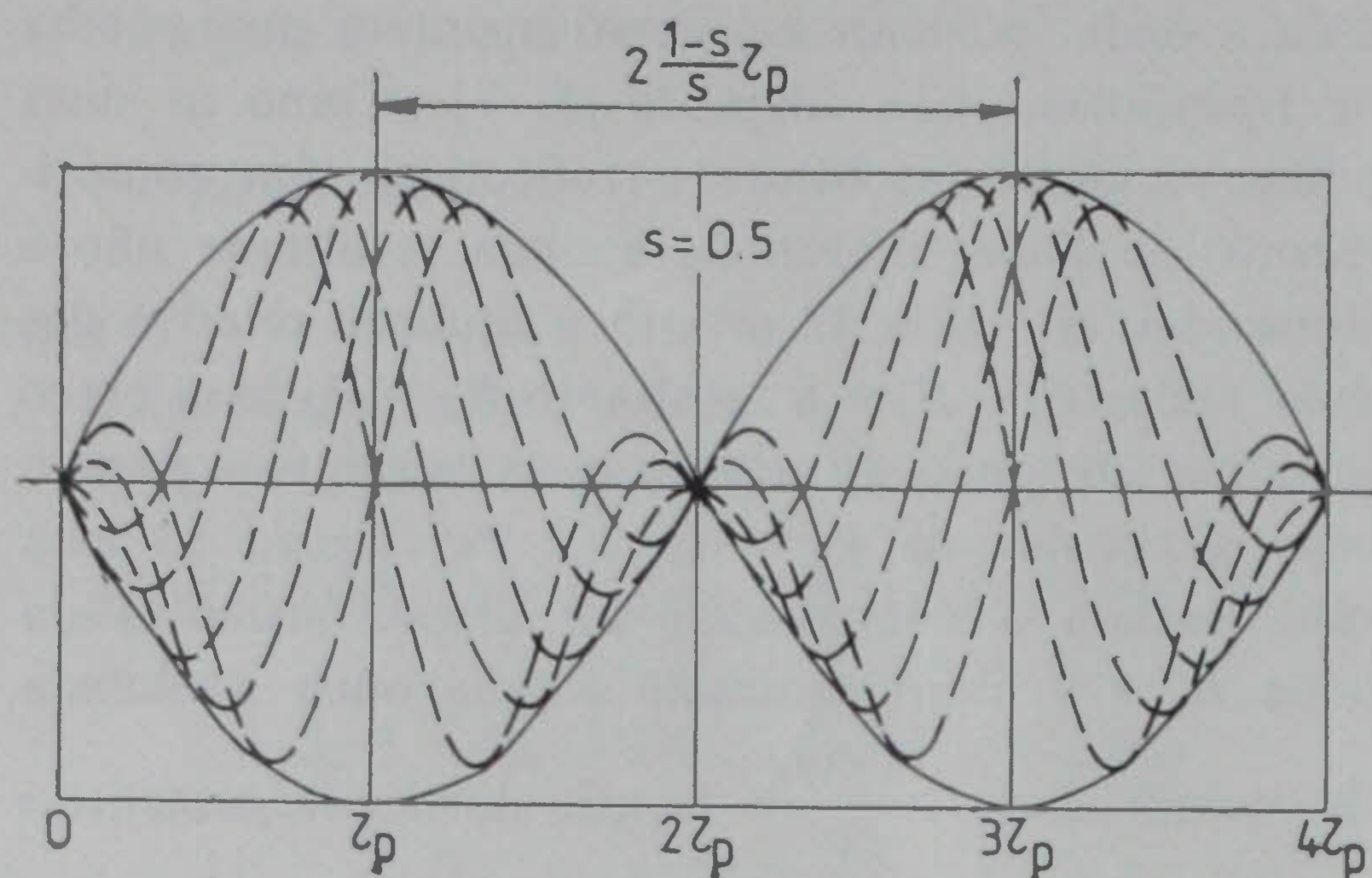


Fig. 13 — Composição dos cinco instantes da onda resultante

da chapa rotórica. Portanto, o valor eficaz do campo de indução magnética ao longo do entreferro não é constante, mas varia com aquela periodicidade.

Conclui-se assim que o campo de indução magnética no entreferro de um motor linear de indução em carga tem uma distribuição tri-dimensional. A partir

das figuras 11 e 13 é possível traçar uma superfície que indica a distribuição tri-dimensional do campo de indução magnética no entreferro para um motor linear de indução em carga, como ilustra a figura 14. O valor eficaz do campo magnético de indução em carga em cada ponto ao longo do entreferro é medido pela cota do respectivo ponto à superfície de distribuição do campo.

## 5. Conclusões

O artigo apresenta de uma forma sistematizada a análise teórica para a quantificação da distribuição do campo magnético de indução em vazio e em carga num motor linear de indução. Os mapas de fluxo traçados indicam com precisão a dispersão de fluxo para qualquer relação passo polar/entreferro da máquina, parâmetro indispensável para o cálculo da força longitudinal, dimensionamento e otimização da máquina.

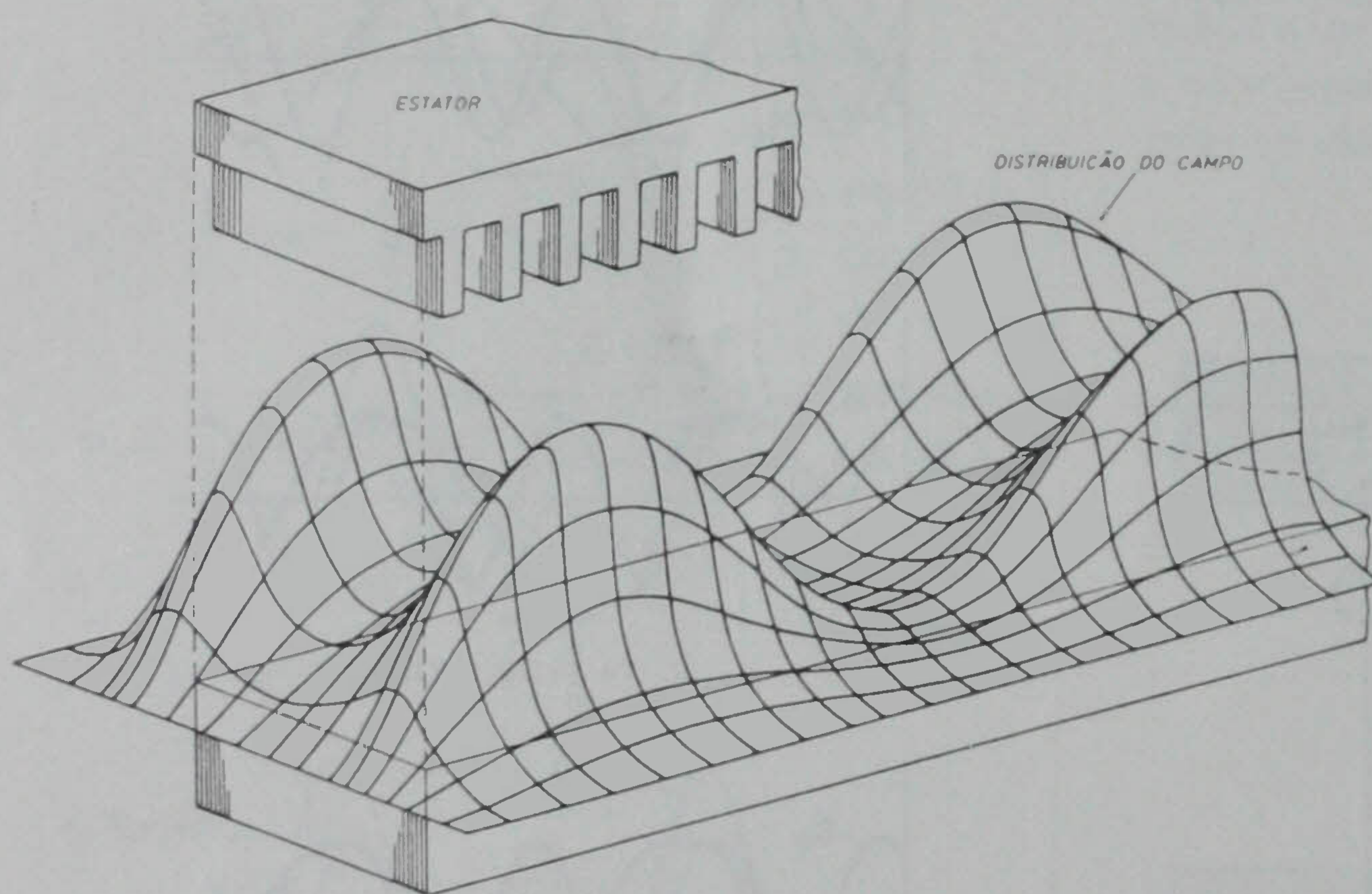


Fig. 14 — Distribuição tri-dimensional do valor eficaz do campo no entreferro

## BIBLIOGRAFIA

- [1] C. P. CABRITA, A. L. RODRIGUES, *O motor linear de indução como accionador de baixa velocidade*, *Electricidade* n.º 252, Janeiro 1989, p. 31-38.
- [2] H. BOLTON, *Transverse edge effect in sheet-rotor induction motors*, IEE, Maio 1969, p. 725-731.
- [3] H. BOLTON, *The design of special purpose induction machines*, Ph. D. Thesis, Imperial College, Londres, 1971.
- [4] J. D. KRAUS, K. R. CARVER, *Electromagnetics*, McGraw-Hill, Tóquio, 1973.
- [5] E. R. LAITHWAITE, *Máquinas de inducción especiales*, Editorial Labor, Barcelona, 1976.
- [6] S. NONAKA, K. YOSHIDA, *Analysis of double-sided linear motors*, *Journal of IEE Japan*, Volume 90, N.º 5, 1970, p. 118-127.
- [7] A. L. RODRIGUES, *Design of low speed linear induction motor*, Master of Science Thesis, Imperial College, Londres, 1973.
- [8] S. YAMAMURA, *Theory of linear induction motors*, John Wiley & Sons, University of Tokyo Press, 1972.
- [9] J. C. WEST, D. E. HESMONDHALGH, *The analysis of thick cylinder induction machines*, IEE Monograph N.º 477 U, Novembro 1961, p. 172-181.